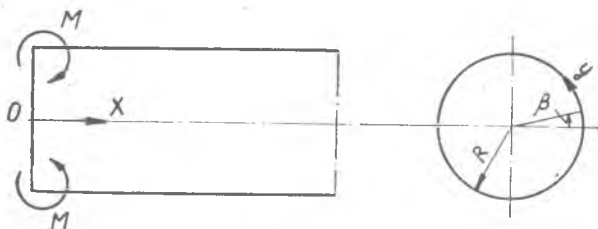


В. Ф. Ефремов

### УСТОЙЧИВОСТЬ ЦИЛИНДРИЧЕСКОЙ ОБОЛОЧКИ, НАГРУЖЕННОЙ КРАЕВЫМИ ИЗГИБАЮЩИМИ МОМЕНТАМИ

В статье исследуется устойчивость полубесконечной цилиндрической оболочки, нагруженной продольными изгибающими моментами, равномерно распределенными по краю (фиг. 1).



Фиг. 1.

Рассмотрены два вида граничных условий на краю оболочки: край шарнирно оперт; край свободен.

В качестве исходных уравнений задачи использованы уравнения устойчивости В. З. Власова [1]:

$$\nabla^2 \nabla^2 \varphi - \frac{Eh}{R} \frac{\partial^2 w}{\partial x^2} = 0;$$

$$\frac{1}{R} \frac{\partial^2 \varphi}{\partial x^2} + D \nabla^2 \nabla^2 w + N_y \left( \frac{\partial^2 w}{\partial y^2} + \frac{w}{R^2} \right) = 0, \quad (1)$$

где  $\varphi$  — функция напряжений;  $R, h$  — радиус и толщина оболочки;  $E$  — модуль упругости;  $N_y$  — нормальное сжимающее усилие

в окружном направлении, возникающее в оболочке до потери устойчивости;  $\nabla^2 = \frac{\partial^2}{\partial x^2} + \frac{\partial^2}{\partial y^2}$  — оператор Лапласа;  $D = \frac{Eh^3}{12(1-\nu^2)}$ ;  $\nu$  — коэффициент Пуассона.

Интегрирование уравнений (1) выполнено с помощью метода Бубнова-Галеркина. При этом аппроксимация выражений для прогиба  $w$  и функции напряжений  $\varphi$  производилась по методу, предложенному А. С. Авдониным [1].

1. Рассмотрим случай шарнирного опирания оболочки. Оболочка, нагруженная так, как показано на фиг. 1, может терять устойчивость от сжимающих усилий  $N_y$ . Последние определяются из расчета докритического состояния оболочки:

$$N_y = 2MRk^2 e^{-kx} \sin kx.$$

Здесь

$$k^4 = \frac{3(1-\nu^2)}{R^2 h^2}.$$

Предположим, что прогиб оболочки после потери устойчивости в направлении образующей может быть представлен в виде затухающей функции, удовлетворяющей заданным граничным условиям на краю  $x=0$ . Кроме того, можно ожидать, что в окружном направлении прогиб является периодической функцией угла  $\beta$ . Из аналогичных соображений можно исходить и при выборе функции напряжений.

На основании этих предпосылок полагаем:

$$w = e^{-kx} (A_1 + A_2 \cos kx + A_3 \sin kx) \cos n\beta, \quad (2)$$

$$\varphi = e^{-kx} (B_1 + B_2 \cos kx + B_3 \sin kx) \cos n\beta; \quad (3)$$

где  $A_1, A_2, \dots, B_3$  — произвольные постоянные;  $n$  — число волн в окружном направлении.

В случае шарнирного опирания имеем:

$$\text{при } x=0 \quad w = 0; \quad \frac{\partial^2 w}{\partial x^2} = 0. \quad (4)$$

Используя эти условия, получим:

$$A_2 = -A_1; \quad A_3 = 0,5A_1.$$

Тогда

$$w = A_1 e^{-kx} (1 - \cos kx + 0,5 \sin kx) \cos n\beta. \quad (5)$$

Для определения произвольных постоянных в выражении (3) для функции напряжений используем условия:

$$\text{при } x=0 \quad \sigma_x = \frac{\partial^2 \varphi}{\partial y^2} = 0; \quad \sigma_{xy} = \frac{\partial^2 \varphi}{\partial x \partial y} = 0. \quad (6)$$

В результате найдем

$$B_2 = -B_1; \quad B_3 = 0.$$

Тогда

$$\varphi_1 = B_1 e^{-kx} (1 - \cos kx) \cos n\beta. \quad (7)$$

Аппроксимации (5) и (7) позволяют решить задачу в первом приближении.

Интегрируя уравнения (1) по методу Бубнова-Галеркина, получим при  $\nu=0,3$ :

$$M = k_m \frac{Eh^3}{R}, \quad (8)$$

где  $k_m = \frac{6,045 + 7,215z + 6,97125z^2 + 3,315z^3 + 1,06z^4}{13,3224z + 6,6612z^2 + 4,996z^3}$

$z = \left(\frac{n}{Rk}\right)^2$  — параметр волнообразования.

Минимизируя (8) по  $z$ , найдем  $k_m = 0,946$ . Соответствующее число волн в окружном направлении  $n = 1,189Rk$ . Таким образом, первое приближение дает:

$$M_{кр} = 0,946 \frac{Eh^3}{R}. \quad (9)$$

Последующие приближения строятся на уточнении аппроксимации (7) для функции напряжений при сохранении выражения (5) для прогиба.

Возьмем последующие аппроксимации функции напряжений в виде

$$\varphi_2 = B_1 e^{-kx} [(1 - \cos kx) + e^{-kx} (1 - \cos 2kx)] \cos n\beta;$$

$$\varphi_3 = B_1 e^{-kx} [(1 - \cos kx) + e^{-kx} (1 - \cos 2kx) + e^{-2kx} (1 - \cos 3kx)] \cos n\beta;$$

$$\dots$$

$$\varphi_{i+1} = \varphi_i + B_1 e^{-(i+1)kx} [1 - \cos(i+1)kx] \cos n\beta, \quad (10)$$

где  $i=1, 2, 3, \dots$

Интегрируя уравнения (1) с использованием (5) и (10), получим результаты, представленные в таблице 1.

Как видно из таблицы, уточненное решение задачи достигается в шестом приближении:

$$M_{кр} = 0,905 \frac{Eh^3}{R}. \quad (11)$$

Формула (11) дает значение критической нагрузки, близкое к решению, приведенному в [2].

2. В случае свободного края схема расчета остается прежней. Здесь потеря устойчивости оболочки возможна при направлении моментов, обратном тому, которое показано на фиг. 1. Усилие  $N_y$  по-прежнему определяется из расчета докритического состояния оболочки:

$$N_y = 2MRk^2 e^{-kx} (\cos kx - \sin kx). \quad (12)$$

Свободный край оболочки характеризуется отсутствием перерезывающих сил  $V_x$  и изгибающих моментов  $M_x$ . Поэтому функция  $w$  должна удовлетворять следующим граничным условиям:

$$\text{при } x = 0 \quad \frac{\partial^3 w}{\partial x^3} + (2-\nu) \frac{\partial^3 w}{\partial x \partial y^2} = 0; \quad \frac{\partial^2 w}{\partial x^2} + \nu \frac{\partial^2 w}{\partial y^2} = 0. \quad (13)$$

Таблица 1

№№	$k_M$	$z$	$n(Rk)^{-1}$
1	0,946	1,413	1,189
2	0,936	1,333	1,155
3	0,866	1,178	1,085
4	0,915	1,263	1,124
5	0,907	1,241	1,114
6	0,905	1,236	1,112
7	0,905	1,234	1,111

Таблица

№№	$k_M$	$z$	$n(Rk)^{-1}$
1	0,213	0,484	0,696
2	0,192	0,387	0,622
3	0,166	0,288	0,537
4	0,177	0,328	0,573
5	0,175	0,321	0,566
6	0,175	0,319	0,565
7	0,175	0,319	0,565

Используя (13), найдем из (2) при  $\nu=0,3$ :

$$\omega = \frac{A_1 e^{-kx}}{2 + 1,4z + 0,255z^2} [(2 + 1,4z + 0,255z^2) - (0,55z + 0,255z^2) \cos kx + (1 + 0,4z) \sin kx] \cos n\beta. \quad (1)$$

Здесь, как и выше,  $z = \left(\frac{n}{Rk}\right)^2$ .

На свободном краю оболочки отсутствуют дополнительные напряжения  $\sigma_x$  и  $\sigma_{xy}$ . Следовательно, вид функции напряжений по-прежнему определяется аппроксимациями (7) и (10). Используя последние, в первом приближении получим:

$$M = k_M \frac{Eh^3}{R},$$

где

$$k_M = \frac{f_1 + f_2}{f_3 f_4},$$

$$f_1 = 93,6 + 277,68z + 629,288z^2 + 691,0488z^3;$$

$$f_2 = 464,588z^4 + 192,243z^5 + 42,558z^6 + 4,338z^7 + 0,228z^8; \quad (1)$$

$$f_3 = 0,8736z + 0,4368z^2 + 0,3276z^3;$$

$$f_4 = 2816 + 2324z + 441,48z^2 - 20,808z^3 - 2,2608z^4.$$

Минимизация выражения (15) по параметру  $z$  дает:

$$k_M = 0,213.$$

И здесь уточненное решение достигается в шестом приближении:

$$M_{кГ} = 0,175 \frac{Eh^3}{R}, \quad n = 0,565Rk. \quad (1)$$

Результаты расчета сведены в таблицу 2.

3. Рассмотренная задача может быть решена и энергетическим методом.

Полная потенциальная энергия оболочки [1]:

$$\begin{aligned} \mathcal{E} = & \frac{1}{2Eh} \int_0^{\infty} \int_0^{2\pi R} [\varphi_{xx}^2 + \varphi_{yy}^2 - 2\nu\varphi_{xx}\varphi_{yy} + 2(1+\nu)\varphi_{xy}^2] dx dy + \\ & + \frac{D}{2} \int_0^{\infty} \int_0^{2\pi R} [\omega_{xx}^2 + \omega_{yy}^2 + 2\nu\omega_{xx}\omega_{yy} + 2(1-\nu)\omega_{xy}^2] dx dy + \\ & + N_y \int_0^{\infty} \int_0^{2\pi R} \left[ \frac{1}{Eh} (\varphi_{xx} - \nu\varphi_{yy}) - \frac{1}{2} \omega_y^2 \right] dx dy. \end{aligned} \quad (17)$$

Здесь индексы  $x$  и  $y$  означают дифференцирование по этим переменным.

На основании метода Ритца функционал (17) может быть представлен как функция варьируемых параметров  $A_1$  и  $B_1$ , связь между которыми получим, интегрируя первое уравнение системы (1) по методу Бубнова-Галеркина:

$$A_1 = B_1 \frac{R}{Ehk} f_7 \frac{2 + 1,4z + 0,255z^2}{6 + 1,5z - 0,51z^2}. \quad (18)$$

После подстановки выражений (7), (12), (14) и (18) в формулу (17) в первом приближении получим

$$\mathcal{E} = 0,002935 \frac{B_1^2}{Eh} f_7 [(f_5 + f_6)Eh^3 - f_3 f_4 MR], \quad (19)$$

где

$$f_5 = 93,6 + 277,68z + 618,992z^2 + 685,9z^3;$$

$$f_6 = 460,721z^4 + 192,24z^5 + 42,556z^6 + 4,338z^7 + 0,228z^8;$$

$$f_7 = 8k^3 + 4k \left(\frac{n}{R}\right)^2 + 3 \left(\frac{n}{R}\right)^4 \frac{1}{k}.$$

Варьируя (19) по параметру  $B_1$  из условия  $\frac{\partial \mathcal{E}}{\partial B_1} = 0$  найдем

$$M = \frac{f_5 + f_6}{f_3 f_4} \frac{Eh^3}{R}. \quad (20)$$

Минимизируя выражение (20) по  $z$ , получим

$$M_{кр} = 0,212 \frac{Eh^3}{R}, \quad z = 0,487. \quad (21)$$

Формула (21) дает значение критической нагрузки, которое лишь в третьем знаке отличается от результата, приведенного в таблице 2 для первого приближения. При этом расхождение результатов не превышает 0,5%.

В случае шарнирного опирания оболочки расчет энергетическим методом в первом приближении дает значение критической нагрузки, точно совпадающее с формулой (9).

Можно ожидать, что и все последующие приближения энергетического метода совпадут с результатами, полученными методом Бубнова-Галеркина.

#### ЛИТЕРАТУРА

1. А. С. Авдонин. Прикладные методы расчета оболочек и тонкостенных конструкций. «Машиностроение», 1969.
2. Сборник «Расчет пространственных конструкций», вып. XI, Госстройиздат, 1967.